Responsable : CORUS Mathieu

Date: 01/08/2011 Page: 1/6 Clé: V2.03.004 Révision

054678e2a3c0

# SDLS04 - Sous-structuration cyclique : Plaque mince annulaire encastrée en son moyeu

### Résumé:

Le domaine d'application de ce test concerne la dynamique des structures, et plus particulièrement le calcul modal par sous-structuration dynamique cyclique.

Il s'agit de calculer les modes propres d'une structure axisymétrique (plaque mince annulaire encastrée en son moyeu) en la considérant comme une structure à répétitivité cyclique.

Le modèle est constitué d'un secteur angulaire de  $20^{\circ}$  de l'anneau, maillé en triangles auxquels sont affectés des éléments de type plaque : DKT. Deux méthodes de calcul sont testées :

- Sous-structuration dynamique cyclique de Craig-Bampton
- Sous-structuration dynamique cyclique de Mac Neal

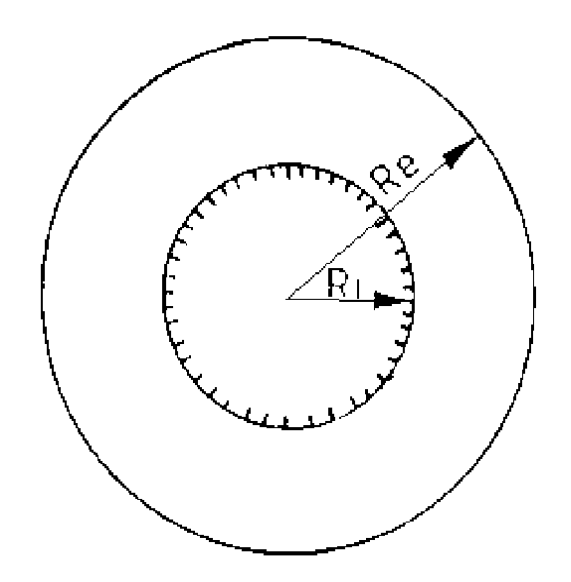
Les résultats de référence sont issus d'un calcul analytique. Ils valident les outils de calcul modal par sous-structuration dynamique cyclique implémentés dans *Code\_Aster*.

Date: 01/08/2011 Page: 2/6 Révision Responsable: CORUS Mathieu Clé: V2.03.004

054678e2a3c0

# Problème de référence

#### 1.1 Géométrie



 $R_i = 0.1 \, m$ Rayon intérieur : Rayon extérieur :  $R_e = 0.2 m$ t = 0.001 mEpaisseur:

#### Propriétés de matériaux 1.2

$$E = 2.10^{11} Pa$$

$$v = 0.3$$

$$\rho = 7800 \text{kg/} m^3$$

#### 1.3 **Conditions aux limites et chargements**

Encastrement au moyeu

Pour tout point 
$$r=R_i$$
,  $u=v=w=0$ . et  $\theta_x=\theta_y=\theta_z=0$ .

#### 1.4 **Conditions initiales**

Sans objet pour l'analyse modale.

Responsable : CORUS Mathieu

Date: 01/08/2011 Page: 3/6 Clé: V2.03.004 Révision

054678e2a3c0

## 2 Solution de référence

## 2.1 Méthode de calcul utilisée pour la solution de référence

La solution de référence est celle donnée dans la fiche SDLS04/89 du guide VPCS qui présente la solution analytique de la façon suivante :

La solution du déterminant des fréquences établie à partir des fonctions de Bessel conduit à la formule :

$$f_{ij} = \frac{1}{2\pi R_e^2} \lambda_{ij}^2 \sqrt{\frac{Et^2}{12\rho(1-\nu^2)}}$$

Avec:

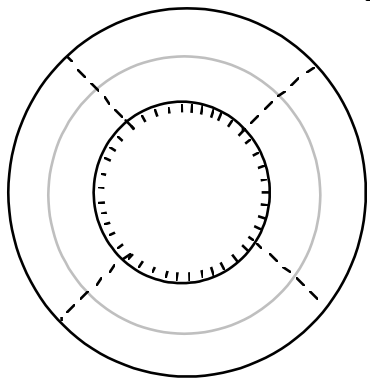
• i = nombre de diamètres nodaux

• j = nombre de cercles nodaux

et  $\lambda_{ii}^2$  tels que :

	i	0	1	2	3
j					
0		13.0	13.3	14.7	18.5
1		85.1	86.7	91.7	100.

Mode de flexion à 2 diamètres nodaux et 1 cercle nodal :  $f_{2,1}$ =559,09 Hz



## 2.2 Résultats de référence

8 modes propres.

## 2.3 Incertitude sur la solution

Solution analytique.

## 2.4 Références bibliographiques

1) A.W. LEISSA, Vibration of plates, Document NASA SP160, 1969, p. 19-30.

Date: 01/08/2011 Page: 4/6 Responsable: CORUS Mathieu Clé: V2.03.004 Révision

054678e2a3c0

#### Modélisation A 3

#### 3.1 Caractéristiques de la modélisation

Cette structure à répétitivité cyclique est étudiée à l'aide de la méthode de sous-structuration dynamique cyclique de CRAIG-BAMPTON.

Un secteur de base, constitué par un secteur angulaire de  $20^{\circ}$  , est maillé en triangles auxquels sont affectés des éléments de plaque DKT.

La base modale utilisée pour le secteur est composée de 20 modes propres et des modes contraints associés aux interfaces.

#### 3.2 Caractéristiques du maillage

Nombre de nœuds : 66.

Nombre de mailles et types : 100 triangles à 3 nœuds DKT

#### 3.3 Grandeurs testées et résultats

Numéro d'ordre	Nombre de diamètres nodaux	Nombre de cercles nodaux	Référence	Aster	% différence
	i	j			
1	0	0	79.26	79.58	0.4
8	0	1	518.85	519.54	0.1
2.3	1	0	81.09	81.18	0.1
9.10	1	1	528.61	529.50	0.2
4.5	2	0	89.63	89.72	0.1
11.12	2	1	559.09	559.48	0.07
6.7	3	0	112.79	113.16	0.3
13.14	3	1	609.70	609.75	0.01

#### 3.4 Remarques

Les modes avec plus de 1 diamètre modal sont des modes doubles.

Responsable : CORUS Mathieu Clé : V2.03.004 Révi

Date : 01/08/2011 Page : 5/6 Clé : V2.03.004 Révision 054678e2a3c0

## 4 Modélisation B

## 4.1 Caractéristiques de la modélisation

Cette structure à répétitivité cyclique est étudiée à l'aide de la méthode de sous-structuration dynamique cyclique de MAC-NEAL.

Un secteur de base, constitué par un secteur angulaire de  $20^{\circ}$  , est maillé en triangles auxquels sont affectés des éléments de plaque DKT.

La base modale utilisée pour le secteur est composée de 20 modes propres et des **modes d'attache** associés aux interfaces.

## 4.2 Caractéristiques du maillage

Nombre de nœuds : 66.

Nombre de mailles et types : 100 triangles à 3 nœuds DKT

## 4.3 Grandeurs testées et résultats

Numéro d'ordre	Nombre de diamètre nodaux	Nombre de cercles nodaux	Référence	Aster	% différence
	i	j			
1	0	0	79.26	79.58	0.4
8	0	1	518.85	519.53	0.1
2.3	1	0	81.09	81.18	0.1
9.10	1	1	528.61	529.50	0.2
4.5	2	0	89.63	89.72	0.1
11.12	2	1	559.09	559.48	0.07
6.7	3	0	112.79	113.16	0.3
13.14	3	1	609.70	609.76	0.01

## 4.4 Remarques

Les modes avec plus de 1 diamètre modal sont des modes doubles.



Version default

Titre: SDLS04 - Sous-structuration cyclique: Plaque minc[...]

Responsable: CORUS Mathieu

Date : 01/08/2011 Page : 6/6 Clé : V2.03.004 Révision

Révision 054678e2a3c0

# 5 Synthèse des résultats

Les fréquences calculées par sous-structuration cyclique, que ce soit par la méthode de Craig-Bampton ou par la méthode de Mac Neal, différent du calcul modal direct de moins de  $1\,\%$  . Ce test valide les deux méthodes de sous-structuration.